

DOI: 10.11992/tis.201706053

云环境下求解大规模优化问题的协同差分进化算法

谭旭杰¹, 邓长寿¹, 吴志健², 彭虎¹, 朱鹤桥³

(1. 九江学院 信息科学与技术学院, 江西 九江 332005; 2. 武汉大学 软件工程国家重点实验室, 湖北 武汉 430072; 3. 中国人民解放军 93704 部队)

摘要: 差分进化是一种求解连续优化问题的高效算法。然而差分进化算法求解大规模优化问题时, 随着问题维数的增加, 算法的性能下降, 且搜索时间呈指数上升。针对此问题, 本文提出了一种新的基于 Spark 的合作协同差分进化算法 (SparkDECC)。SparkDECC 采用分治策略, 首先通过随机分组方法将高维优化问题分解成多个低维子问题, 然后利用 Spark 的弹性分布式数据模型, 对每个子问题并行求解, 最后利用协同机制得到高维问题的完整解。通过在 13 个高维测试函数上进行的对比实验和分析, 实验结果表明算法加速明显且可扩展性好, 验证了 SparkDECC 的有效性和适用性。

关键词: 差分进化; 大规模优化; 协同进化; 弹性分布式数据集; 云计算

中图分类号: TP301 **文献标志码:** A **文章编号:** 1673-4785(2018)02-0243-11

中文引用格式: 谭旭杰, 邓长寿, 吴志健, 等. 云环境下求解大规模优化问题的协同差分进化算法[J]. 智能系统学报, 2018, 13(2): 243-253.

英文引用格式: TAN Xujie, DENG Changshou, WU Zhijian, et al. Cooperative differential evolution in cloud computing for solving large-scale optimization problems[J]. CAAI transactions on intelligent systems, 2018, 13(2): 243-253.

Cooperative differential evolution in cloud computing for solving large-scale optimization problems

TAN Xujie¹, DENG Changshou¹, WU Zhijian², PENG Hu¹, ZHU Queqiao³

(1. School of Information Science and Technology, Jiujiang University, Jiujiang 332005, China; 2. State Key Laboratory of Software Engineering, Wuhan University, Wuhan 430072, China; 3. People's Liberation Army of China 93704)

Abstract: Differential evolution is an efficient algorithm for solving continuous optimization problems. However, its performance deteriorates quickly and the runtime grows exponentially when differential evolution is applied to solve large-scale optimization problems. To overcome this problem, a novel cooperative coevolution differential evolution based on Spark (called SparkDECC) was proposed. The strategy of separate processing is used in SparkDECC. Firstly, the large-scale problem is decomposed into several low-dimensional sub-problems by using the random grouping strategy; then each sub-problem can be tackled in a parallel way by taking advantage of the parallel computation capability of the resilient distributed datasets model in Spark; finally the optimal solution of the entire problem is obtained by using cooperation mechanism. The experimental results on 13 high-dimensional functions show that the new algorithm has good performances of speedup and scalability. The effectiveness and applicability of the proposed algorithm were verified.

Keywords: differential evolution; large-scale optimization; coevolution; resilient distributed dataset; cloud computing

收稿日期: 2017-06-13.

基金项目: 国家自然科学基金项目 (61364025, 61763019); 武汉大学软件工程国家重点实验室开放基金项目 (SKLSE2012-09-39); 九江学院科研项目 (2013KJ30, 2014KJYB032); 江西省教育厅科技项目 (GJJ161076, GJJ161072).

通信作者: 邓长寿. E-mail: csdeng@jju.edu.cn.

差分进化算法 (differential evolution, DE) 是一种基于实数编码的全局优化算法^[1], 因其简单、高效以及具有全局并行性等特点, 近年来已成功应用到工业设计和工程优化等领域。研究人员对 DE 算法进行了改进和创新并取得了一些成果。比如 Brest

等^[2]构造了控制参数的自适应性方法并提出了自适应 DE 算法 (jDE)。Wang 等^[3]提出了复合 DE 算法 (CoDE), 其将精心选择的 3 种变异策略和 3 组控制参数按照随机的方法进行组合。这些研究成果主要集中于低维问题 (30 维), 然而当面向高维问题 (1 000 维) 时, 这些 DE 算法的性能将急剧下降, 而且搜索时间随着维数成指数增长, 求解极为困难, “维灾难”问题依然存在^[4]。

为了有效求解高维优化问题, 学者们提出不同的策略, 其中具有代表性的是协同进化 (cooperative coevolution, CC)^[5]。CC 采用“分而治之”的思想, 首先将高维复杂问题分解成低维简单的子问题; 其次对每个子问题分别进行求解; 最后通过所有子问题解的协同机制, 得到整个问题的解。Yang 等^[6]提出的随机分组策略, 可将两个相关变量以极大的概率放在同一组, 在大规模优化问题中得到较精确的解。研究人员已将 CC 应用到多个领域, 如大规模黑盒优化问题^[7]、SCA 问题^[8]、FII 算法^[9]、CCPSO 算法^[10]、DG2 算法^[11], 然而它们在求解高维优化问题时, 采用串行方式求解, 因此, 问题求解需要较长的计算时间, 很难在有效时间内提供满意的解。近年来云计算已应用到大规模信息处理领域中, 如在机器学习^[12]、蚁群算法^[13]、CRFs 算法^[14]、差分进化算法^[15-16]、图数据分析^[17]、分类算法^[18]等获得了成功。因此, 有必要将云计算的分布式处理能力与 CC 的优势相结合, 为大规模优化问题的求解提供新方法。

研究人员已在 Google 开源平台 Hadoop 的 MapReduce 模型之上提出了一些分布式差分进化算法^[19-20]。实践中研究人员发现, MapReduce 模型是一个通用的批处理计算模型, 缺乏并行计算数据共享的有效机制, 对迭代运算无法提供有效支持。因此, 基于 MapReduce 模型的差分进化算法需要通过频繁读写文件来交换数据, 降低了其效率^[21]。

Spark 云平台是伯克利大学提出的分布式数据处理框架^[22], 在许多领域获得了成功应用。Spark 提出了一种全新的数据抽象模型 RDD (弹性分布式数据模型)。RDD 模型能够有效支持迭代计算、关系查询、批处理以及流失数据处理等功能, 使得 Spark 可以应用于多种大规模处理场景。由于 RDD 模型基于内存计算, 避免了 MapReduce 模型频繁读写磁盘数据的弊端, 提高了效率。

本文基于 Spark 云平台提出了合作协同的差分进化算法。SparkDECC 算法采用“分治”策略, 将高维优化问题按随机分组策略分解成低维子问题, 并封装成 RDD; 在 RDD 中, 每个子问题独立并行进化若干代; 利用协同机制将所有子问题合并成完整

问题, 评价出最优个体。SparkDECC 算法在 13 个标准函数进行测试, 实验结果表明该算法是有效可行的。

1 差分进化算法

差分进化算法是一种仿生的群体进化算法, 具体操作如下^[23]。

1) 种群初始化

DE 算法首先在 $[x_{\min}, x_{\max}]$ 范围内随机初始化 NP 个 D 维向量 x_i 的种群, 其中 NP 为种群大小, D 为种群的维度, x_{\min} 为最小值, x_{\max} 为最大值, $i \in [1, NP]$ 。

2) 变异

变异主要是通过种群中个体之间的差向量来改变个体的值。DE 算法根据基准向量的选取和差分向量数目不同, 有多种变异操作。本文的目标向量 x_i 主要通过最常用的变异算子产生, 如式 (1)。

$$v_{i,g} = x_{r_1} + F \cdot (x_{r_2} - x_{r_3}) \quad (1)$$

式中: $i, r_1, r_2, r_3 \in [1, NP]$ 且互不相同的 4 个随机整数; $v_{i,g}$ 为目标向量 x_i 在第 g 代时产生的变异向量; 缩放因子 $F \in [0, 1]$ 。

3) 交叉

变异后, DE 算法通过交叉概率在目标向量 x_i 与变异向量 v_i 进行交叉, 产生新的试验向量 u_i 。具体操作如式 (2) 所示。

$$u_{i,j,g} = \begin{cases} v_{i,j,g}, & \text{rnd}_1 < \text{CR} \text{ or } j == \text{rnd}_2 \\ x_{i,j,g}, & \text{其他} \end{cases} \quad (2)$$

式中: 交叉概率 $\text{CR} \in [0, 1]$, $j \in [1, D]$, 随机数 $\text{rnd}_1 \in [0, 1]$, 随机整数 $\text{rnd}_2 \in [1, D]$ 。

4) 选择

DE 算法主要通过“贪婪”原则对个体进行选择, 较优个体进入下一代。具体操作如式 (3) 所示。

$$x_{i,g+1} = \begin{cases} u_{i,g}, & f(u_{i,g}) \leq f(x_{i,g}) \\ x_{i,g}, & \text{其他} \end{cases} \quad (3)$$

式中 $f(x_{i,g})$ 为个体 $x_{i,g}$ 的适应度值。

DE 算法通过变异、交叉、选择之后, 根据循环代数或求解精度来结束搜索。

2 合作协同的云差分进化算法 Spark-DECC

2.1 Spark 云平台

为了更加高效地支持迭代运算, Spark 平台在 MapReduce 云模型的基础上进行了扩展^[24]。Spark 平台提供了两个重要的抽象: RDD 和共享变量。RDD 本质是一个容错的、并行的数据结构, 提供了一种只读、分区记录并存放在内存的数据集合。

Broadcast 是一种共享变量, 将数据缓存在每个结点上, 不再需要传递数据, 减少通信开销, 提高通信性能。Spark 平台的 API 为 RDD 提供了两种算子: 转换算子 (Transformations) 和动作算子 (Actions), 其中, 转换算子都是惰性的, 对 RDD 分区的每个数据执行相同的操作, 并返回新的 RDD; 而动作算子将触发 RDD 上的运算, 并将值返回给主控结点。RDD 内部实现机制基于迭代器, 使得数据访问更高效, 避免了中间结果对内存的消耗, 使迭代计算更加高效快速。

DE 是一种基于群体的进化算法, 具有内在并行性的特点。因此, DE 能与 Spark 的并行性充分融合。Spark 在主控结点通过 Parallelize 方法将种群并行初始化, 并采用“键-值”的方式存放在内存中, 即:

$$[\text{key}_i, \text{value}_i], i = 1, 2, \dots, m \quad (4)$$

式中: m 是子种群的数目; key_i 是整数, 表示第 i 个子种群的编号; value_i 是第 i 个子种群。DE 在 Spark 上的具体实现如图 1 所示。

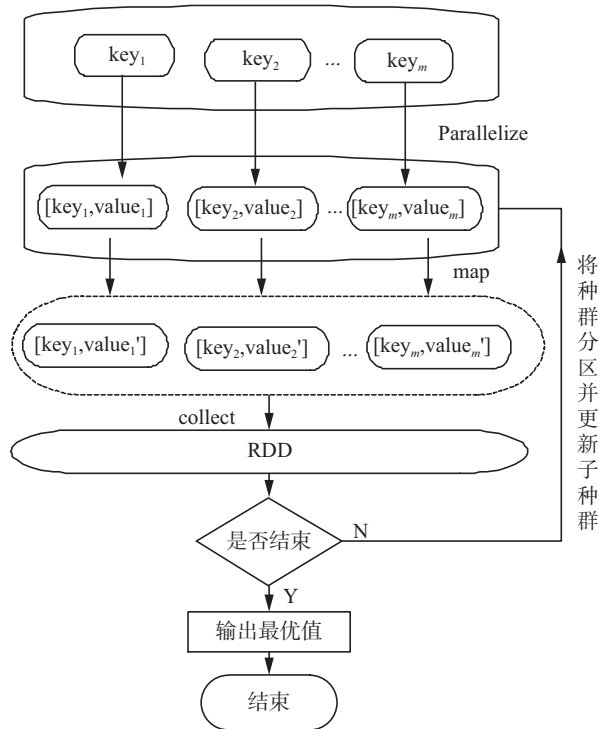


图 1 基于 Spark 的 DE 算法
Fig. 1 DE based on spark

Spark 将内存中的数据按“键-值”对的方式抽象成 RDD, 并根据 key_i 值将子种群分区保存在不同的结点上。利用 RDD 的并行操作算子对各子种群并行进化若干代, 再通过 collect 算子合并生成新的种群。循环结束后通过动作算子 reduce 获取整个种群的最优值。

2.2 SparkDECC 算法

CC 框架处理大规模优化问题优势明显。然

而, 随着种群规模的增加, CC 框架所需时间快速增加。为了提高 CC 框架的收敛速度, 将云计算的优势与 CC 框架相结合, 提出了基于 Spark 的合作协同进化算法-SparkDECC 算法。

SparkDECC 算法首先将高维问题按随机分组方法分解成若干个低维子问题, 一个子问题对应一个子种群, 保留每个子问题在完整问题的位置信息; 按 key_i 值将低维子种群分发到 RDD 中相应的分区, 每个分区中的子种群并行执行 DE 算法的变异、交叉、选择等操作, 其中子种群在计算个体适应度值时, 选取上一轮的最优个体合作组成完整的种群并进行局部寻优。低维子种群在对应的分区中进化若干代后, 按照其位置信息合并成新的完整种群, 并通过全局搜索返回最优个体。SparkDECC 算法的流程图如图 2 所示。

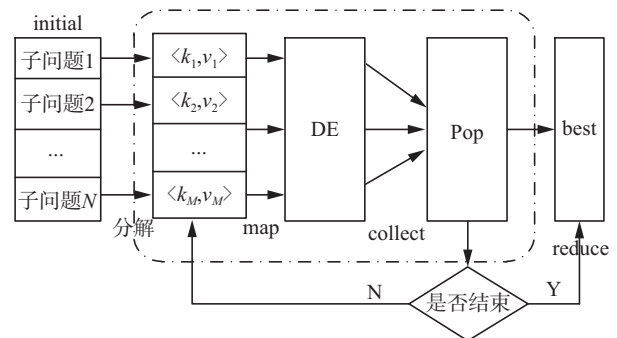


图 2 SparkDECC 算法流程图

Fig. 2 Flowchart of SparkDECC algorithm

SparkDECC 算法的具体步骤如下。

- 1) 初始化参数: 种群规模 NP 、缩放因子 F 、交叉概率 CR 、问题的维度 D 、子问题的维度 DimSub 、子种群数 $M=D/\text{DimSub}$ 、子种群的位置信息 subscript、分区数 Num、进化代数 Gen、子种群合并轮数 Cycles;
- 2) 初始化种群 Pop, 通过 cache() 将数据存放在内存中;
- 3) 获取种群最优个体向量 bestInd、最优值 best;
- 4) 将控制合并轮数的变量 c 赋值为 0;
- 5) 判断合并轮数 c 是否小于等于 Cycles, 若是, 则循环结束; 否则, 继续;
- 6) 变量 c 自动加 1;
- 7) 利用 parallelize 方法将 Pop 按随机分组策略分解成 M 个低维的子种群, 将子种群的位置信息存放在 subscript 中, 并按 key 值将子种群分发到相应分区;
- 8) 通过 broadcast 变量将 Pop 广播至每个结点;
- 9) 各子种群并行进化 Gen 代, 具体的计算过程为:

① 变异操作, 执行式 (1);

② 交叉操作, 执行式 (2);

③ 选择操作, 执行式 (3), 其中子种群在计算适应度值时, 按照其位置信息替换掉 bestInd 中的部分解。

10) 利用 collect 动作算子将所有低维子种群按协同机制合并成完整种群, 并更新 Pop;

11) 对 Pop 进行全局搜索并返回最优个体 bestInd;

12) 转到 5);

13) 循环结束, 通过 reduce 返回最优值 best。

在上述 SparkDECC 算法中, 包含两个循环, 即 6)、10)。外循环 6) 控制问题的全局优化, 内循环 10) 控制子问题的局部优化。

上述算法的时间复杂度主要集中在 10), 其主要功能是在 Num 个分区中同步并行优化 M 个低维子问题。一个低维子问题的时间复杂度为 $O(M \times NP)$, M 个低维子问题在一个分区里按串行方式进化 Gen 代, 运行 Cycles 轮的时间复杂度为 $O(M \times NP \times Gen \times Cycles)$ 。在上述算法中, 略去其他步的时间复杂度。因此, SparkDECC 算法在每个分区的时间复杂度为 $O(M \times NP \times Gen \times Cycles) / Num$ 。

3 数值实验与分析

3.1 测试问题

为了测试 SparkDECC 算法求解大规模优化问题的性能, 本文选取了文献[25]中 13 个测试函数进行实验。其中 $f_1 \sim f_8$ 为单模函数, $f_9 \sim f_{13}$ 为多模函数, f_4 和 f_5 为不可分解的函数, 其他函数都是可分解

的。函数的详细说明详见文献[25]。

3.2 实验设置

本实验采用 Spark 云模型, 每个节点的配置如下: 64 bit corei7 CPU, 主频 3.4 GB, 内存 8 GB, Ubuntu13.10 操作系统, 安装使用 Hadoop2.2.0 和 Spark1.2.0, 编程环境为 IntelliJ IDEA14.1.2, 使用 Scala 和 Java 语言。

为了验证 SparkDECC 的性能以及影响其性能的各个因素, 实验时 SparkDECC 中问题的维度 $D=1\ 000$, 子问题的维度 DimSub=100, 问题规模 NP=100, $F=0.5$, CR=0.9, 每个子种群独立运行的代数 MaxGen=100, 合并轮数 Cycles=50。为了验证 SparkDECC 算法的可扩展性, 将问题的维度 D 扩展到 5 000, 其他参数保持不变。

3.3 实验结果与分析

表 1 为 SparkDECC 与 OXDE^[26]、CoDE、jDE、PSO^[27]算法的平均最优值和标准方差的结果对比。5 种算法的参数设置一致, 各算法独立运行 25 次。采用了 Wilcoxon 秩和检验方法对 4 种算法的实验结果进行了统计分析, 显著性水平为 0.05, 其中, “-”表示劣于, “+”表示优于, “≈”表示相当于。

表 1 中, SparkDECC 与其他 3 种 DE 算法进行对比, 结果表明, SparkDECC 在 $f_1, f_5, f_6, f_{10} \sim f_{13}$ 共 7 个函数能快速收敛到最优结果, 实验数据优于其他 3 种算法; SparkDECC 算法在 f_3, f_8 和 f_9 等 3 个函数的收敛出现了停滞, 实验结果弱于其他算法; 在不可分解函数 f_4 上各算法的运行效果相当; f_2 要劣于 jDE, 优于 OXDE 和 CoDE; 带噪声函数 f_7 的实验结果劣于 CoDE, 优于 jDE, 与 OXDE 相当。

表 1 SparkDECC、OXDE、CoDE、jDE、PSO 算法的平均值、标准差和 Wilcoxon 秩的检验结果

Table 1 Comparison of SparkDE, OXDE, CoDE, jDE and PSO algorithms for solving the results

F	OXDE (mean±std)	CoDE (mean±std)	jDE (mean±std)	PSO (mean±std)	SparkDECC (mean±std)
f_1	$4.76 \times 10^{+2} \pm 1.67 \times 10^{+2} -$	$1.50 \times 10^{-5} \pm 1.74 \times 10^{-5} -$	$2.46 \times 10^{-6} \pm 1.23 \times 10^{-5} -$	$2.30 \times 10^{+6} \pm 2.79 \times 10^{+4} -$	$5.85 \times 10^{-13} \pm 1.62 \times 10^{-13}$
f_2	$5.27 \times 10^{+1} \pm 6.89 \times 10^{+0} -$	$8.89 \times 10^{-1} \pm 9.74 \times 10^{-1} -$	$1.74 \times 10^{-10} \pm 8.62 \times 10^{-10} +$	$7.16 \times 10^{+4} \pm 3.30 \times 10^{+4} -$	$6.60 \times 10^{-7} \pm 1.00 \times 10^{-7}$
f_3	$1.54 \times 10^{+6} \pm 2.33 \times 10^{+5} +$	$4.50 \times 10^{+4} \pm 6.12 \times 10^{+3} +$	$7.54 \times 10^{+4} \pm 1.48 \times 10^{+4} +$	$8.68 \times 10^{+8} \pm 6.51 \times 10^{+7} -$	$5.31 \times 10^{+7} \pm 7.20 \times 10^{+6}$
f_4	$2.59 \times 10^{+1} \pm 1.84 \times 10^{+0} \approx$	$2.67 \times 10^{+1} \pm 1.95 \times 10^{+0} \approx$	$5.04 \times 10^{+1} \pm 4.58 \times 10^{+0} \approx$	$4.01 \times 10^{+2} \pm 7.98 \times 10^{+0} -$	$9.76 \times 10^{+1} \pm 2.22 \times 10^{-1}$
f_5	$2.28 \times 10^{+4} \pm 7.08 \times 10^{+3} -$	$2.39 \times 10^{+3} \pm 2.12 \times 10^{+2} \approx$	$2.18 \times 10^{+3} \pm 2.21 \times 10^{+2} \approx$	$9.23 \times 10^{+12} \pm 1.29 \times 10^{+12} -$	$1.62 \times 10^{+3} \pm 1.62 \times 10^{+2}$
f_6	$7.86 \times 10^{+3} \pm 8.86 \times 10^{+2} -$	$5.26 \times 10^{+1} \pm 6.26 \times 10^{+1} -$	$1.06 \times 10^{+4} \pm 2.98 \times 10^{+3} -$	$2.30 \times 10^{+6} \pm 1.29 \times 10^{+5} -$	$1.60 \times 10^{-1} \pm 4.73 \times 10^{-1}$
f_7	$5.68 \times 10^{+0} \pm 7.25 \times 10^{-1} \approx$	$9.06 \times 10^{-1} \pm 1.03 \times 10^{-1} +$	$2.91 \times 10^{+1} \pm 1.60 \times 10^{+1} -$	$3.48 \times 10^{+13} \pm 3.87 \times 10^{+12} -$	$3.62 \times 10^{+0} \pm 1.67 \times 10^{-1}$
f_8	$-4.17 \times 10^{+5} \pm 7.27 \times 10^{+2} +$	$-1.89 \times 10^{+5} \pm 5.14 \times 10^{+3} +$	$-4.19 \times 10^{+5} \pm 3.18 \times 10^{-1} +$	$-1.34 \times 10^{+5} \pm 4.51 \times 10^{+3} +$	$-6.11 \times 10^{+4} \pm 1.18 \times 10^{+3}$
f_9	$4.94 \times 10^{+2} \pm 5.32 \times 10^{+1} +$	$4.59 \times 10^{+3} \pm 2.10 \times 10^{+2} +$	$2.98 \times 10^{+0} \pm 4.03 \times 10^{+0} +$	$2.33 \times 10^{+6} \pm 1.35 \times 10^{+5} -$	$1.10 \times 10^{+4} \pm 3.93 \times 10^{+1}$
f_{10}	$6.49 \times 10^{+0} \pm 2.79 \times 10^{-1} -$	$2.25 \times 10^{+0} \pm 1.82 \times 10^{-1} -$	$5.12 \times 10^{+0} \pm 7.06 \times 10^{-1} -$	$2.15 \times 10^{+1} \pm 3.77 \times 10^{-2} -$	$4.55 \times 10^{-8} \pm 8.16 \times 10^{-9}$
f_{11}	$5.02 \times 10^{+0} \pm 1.19 \times 10^{+0} -$	$7.70 \times 10^{-3} \pm 2.29 \times 10^{-2} -$	$8.91 \times 10^{-1} \pm 7.39 \times 10^{-1} -$	$5.75 \times 10^{+2} \pm 4.15 \times 10^{+1} -$	$3.54 \times 10^{-14} \pm 1.03 \times 10^{-14}$
f_{12}	$3.01 \times 10^{+0} \pm 7.11 \times 10^{-11} -$	$5.75 \times 10^{-2} \pm 4.85 \times 10^{-2} -$	$1.32 \times 10^{+6} \pm 2.20 \times 10^{+6} -$	$6.99 \times 10^{+12} \pm 7.75 \times 10^{+11} -$	$7.46 \times 10^{-4} \pm 2.58 \times 10^{-3}$
f_{13}	$1.94 \times 10^{+3} \pm 3.40 \times 10^{+2} -$	$1.15 \times 10^{+2} \pm 7.53 \times 10^{+1} -$	$1.14 \times 10^{+7} \pm 8.17 \times 10^{+6} -$	$7.87 \times 10^{+12} \pm 8.78 \times 10^{+11} -$	$8.79 \times 10^{-4} \pm 3.04 \times 10^{-3}$
-/+/≈	8/3/2	7/4/2	7/4/2	12/1/0	

SparkDECC 与 PSO 算法的结果对比, 实验结果表明 SparkDECC 算法除函数 f_8 外其他都优于 PSO, 说明 SparkDECC 算法总体性能优于 PSO。

函数收敛曲线图主要用来表示算法求解最优值的一种趋势走向, 函数曲线下降得越快, 收敛性能越好。为了比较 4 种不同 DE 算法在 f_1 、 f_3 、 f_5 、 f_6 、 f_9 、 f_{10} 、 f_{11} 、 f_{13} 等函数的收敛性能 (受篇幅限制, 仅选择

这 8 个函数), 选取了各算法独立运行 20 次中的平均收敛数据, 收敛取值以 10 为底的对数形式, 曲线图如图 3 所示。从图 3 可以看出 SparkDECC 算法的收敛能力较强, 在函数 f_1 、 f_{10} 、 f_{11} 上的收敛曲线呈直线下降, 收敛性能强; 函数 f_5 、 f_6 、 f_{13} 在进化的前期有很好的收敛速度, 但在后期出现了一定程度的局部收敛; 函数 f_3 、 f_9 在整个进化过程中处于局部收敛, 收敛性能弱, 收敛效果要劣于其他算法。

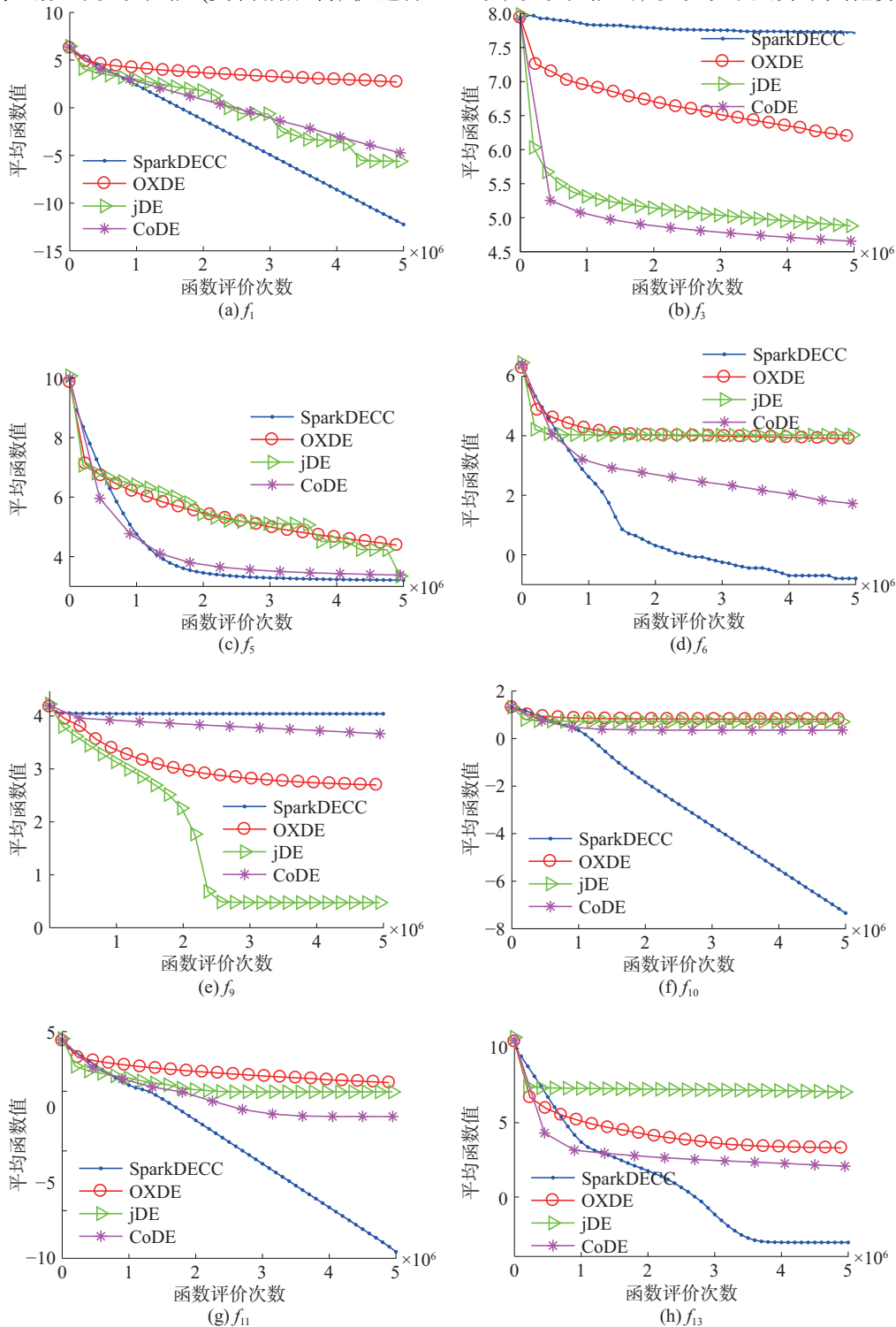


图 3 收敛图

Fig. 3 Convergence graph

综合以上实验数据分析表明, SparkDECC 算法能有效地求解大规模优化问题, 提高了 DE 算法的收敛精度和收敛速率。

加速比^[28]是衡量算法并行性的有效指标, 其定义如式 (5) 所示。

$$S_k(M_n) = \frac{T_k(1)}{T_k(M_n)} \quad (5)$$

式中: $T_k(1)$ 代表在一个分区上独立运行 k 次的平均时间, $T_k(M_n)$ 代表在 n 个分区上独立运行 k 次的平

均时间。实验时单峰函数选取了 f_1 、 f_3 和 f_5 , 多峰函数选取了 f_9 、 f_{11} 和 f_{13} 。针对这 6 个高维优化函数, 设定了 3 种不同的评价次数即 $5E6$ 、 $2.5E6$ 和 $5E5$, 分别独立执行 10 次。图 4 的加速比表明, SparkDECC 算法在测试高维优化函数上, 随着分区数的增加, 算法执行时间逐渐减少, 加速效果越好。当分区数增加到 5 的时候, 加速比几乎接近 5 倍, 与 2.2 节中对时间复杂度的分析一致。此外, 函数的加速曲线与函数的评价次数关系不明显, 表明了加速性能的稳定。

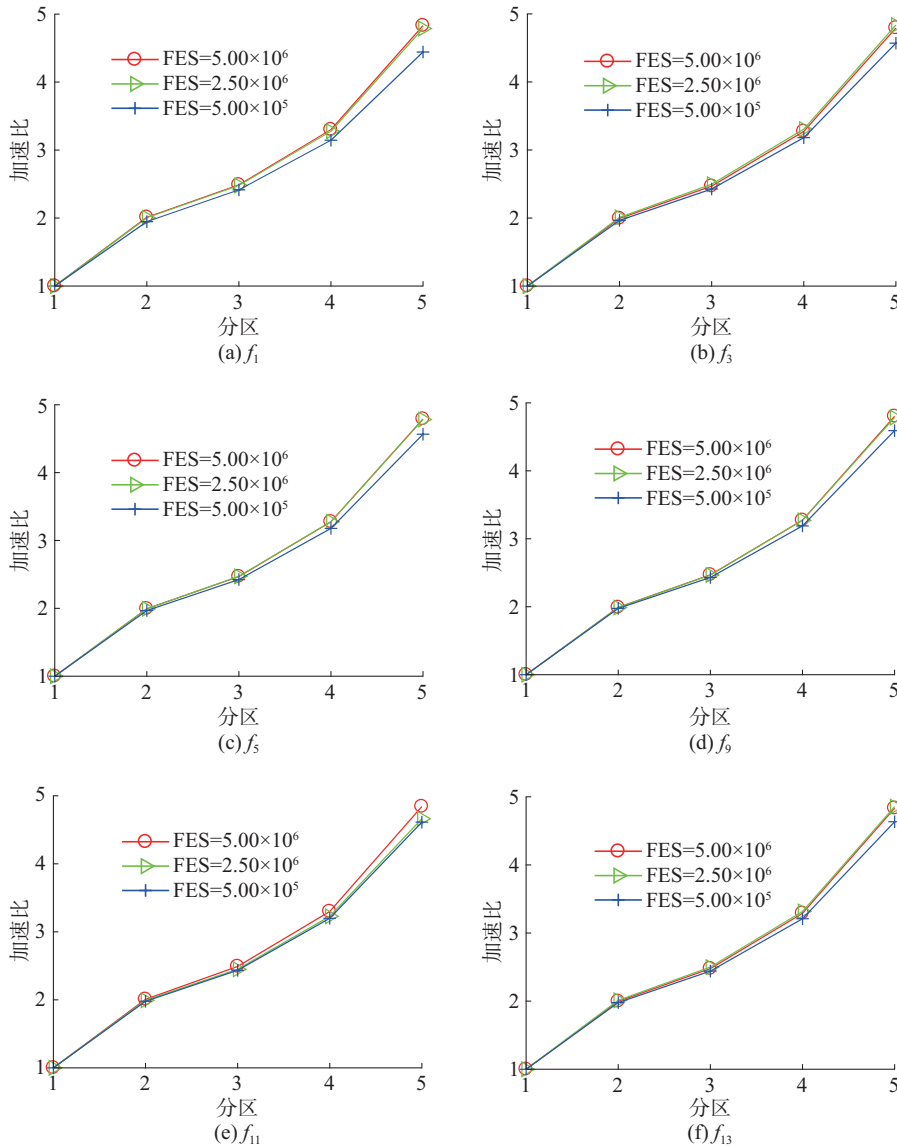


图 4 加速比

Fig. 4 Acceleration ratio

3.4 协同方式对算法性能的影响

SparkDECC 算法对子种群进行局部寻优后, 需要合并所有子种群并进行全局搜索。SparkDECC 算法按照原模型进行组合, 整个种群保持原来的结构。为了分析子种群合并机制对 SparkDECC 算法性能的影响, 本文选取了两种不同的协同方式进行

对比实验。这两种协同方式衍生出两种算法, 即 SparkDECC-1 算法和 SparkDECC-2 算法, 这两种算法在 SparkDECC 算法的基础上, 子种群按不同的协同方式进行组合。其中, SparkDECC-1 算法在所有子种群组合之前, 首先将所有子种群的个体按其适应度值升序排序, 最后将所有子种群按线性方式组

合成完整的种群; SparkDECC-2 算法将所有子种群中的个体按随机方式组合成完整的种群。为了验证 3 种不同的 SparkDECC 算法的性能, 选择了相同的参数设置, 分别在 13 个函数上独立运行 20 次, 实验结果如表 2 所示。

表 2 的实验结果表明, SparkDECC 算法在 f_1 、 f_2 、 f_4 、 f_5 、 f_{10} 、 f_{11} 、 f_{12} 、 f_{13} 等 8 个函数的实验结果要优于其他两种协同方式。其中, SparkDECC-1 算法在

f_3 、 f_6 、 f_8 、 f_9 等 4 个函数优于 SparkDECC 算法, SparkDECC-2 算法中的所有函数都劣于 SparkDECC 算法。总之, SparkDECC 算法的其他组合方式不能有效地提高算法的收敛精度, 且增加了种群个体的排列组合运算, 算法的运行时间随之增加。因此, SparkDECC 算法选择最初的协同方式合并子种群, 维持原种群的结构, 能有效提高算法的精度和时间。

表 2 SparkDECC 3 种不同协同方式的实验结果

Table 2 Experimental results of SparkDECC on three different cooperative modes

F	SparkDECC-1 (mean±std)	SparkDECC-2 (mean±std)	SparkDECC (mean±std)
f_1	$1.39 \times 10^{-12} \pm 3.11 \times 10^{-13} -$	$3.06 \times 10^{-6} \pm 4.79 \times 10^{-4} -$	$5.85 \times 10^{-13} \pm 1.62 \times 10^{-13}$
f_2	$1.11 \times 10^{-6} \pm 1.86 \times 10^{-7} -$	$4.73 \times 10^{-3} \pm 3.65 \times 10^{-1} -$	$6.60 \times 10^{-7} \pm 1.00 \times 10^{-7}$
f_3	$4.96 \times 10^{-7} \pm 9.00 \times 10^{-6} +$	$8.35 \times 10^{-7} \pm 1.62 \times 10^{-7} \approx$	$5.31 \times 10^{-7} \pm 7.20 \times 10^{-6}$
f_4	$9.77 \times 10^{-1} \pm 2.62 \times 10^{-1} \approx$	$9.95 \times 10^{-1} \pm 1.50 \times 10^{-1} \approx$	$9.76 \times 10^{-1} \pm 2.22 \times 10^{-1}$
f_5	$1.68 \times 10^{-3} \pm 1.63 \times 10^{-2} \approx$	$1.43 \times 10^{-10} \pm 3.70 \times 10^{-8} -$	$1.62 \times 10^{-3} \pm 1.62 \times 10^{-2}$
f_6	$5.00 \times 10^{-2} \pm 2.24 \times 10^{-1} +$	$3.05 \times 10^{-6} \pm 5.15 \times 10^{-4} -$	$1.60 \times 10^{-1} \pm 4.73 \times 10^{-1}$
f_7	$2.27 \times 10^{-0} \pm 1.42 \times 10^{-1} \approx$	$2.35 \times 10^{-5} \pm 4.63 \times 10^{-3} -$	$3.62 \times 10^{-0} \pm 1.67 \times 10^{-1}$
f_8	$-7.88 \times 10^{-4} \pm 7.81 \times 10^{-2} +$	$-1.76 \times 10^{-4} \pm 2.74 \times 10^{-3} -$	$-6.11 \times 10^{-4} \pm 1.18 \times 10^{-3}$
f_9	$1.00 \times 10^{-4} \pm 7.44 \times 10^{-1} +$	$1.76 \times 10^{-4} \pm 1.28 \times 10^{-2} \approx$	$1.10 \times 10^{-4} \pm 3.93 \times 10^{-1}$
f_{10}	$7.07 \times 10^{-8} \pm 7.73 \times 10^{-9} \approx$	$2.11 \times 10^{-1} \pm 1.43 \times 10^{-2} -$	$4.55 \times 10^{-8} \pm 8.16 \times 10^{-9}$
f_{11}	$1.72 \times 10^{-3} \pm 4.53 \times 10^{-3} -$	$2.78 \times 10^{-4} \pm 2.74 \times 10^{-2} -$	$3.54 \times 10^{-14} \pm 1.03 \times 10^{-14}$
f_{12}	$6.22 \times 10^{-4} \pm 2.78 \times 10^{-3} \approx$	$3.55 \times 10^{-10} \pm 7.77 \times 10^{-8} -$	$7.46 \times 10^{-4} \pm 2.58 \times 10^{-3}$
f_{13}	$5.49 \times 10^{-4} \pm 2.46 \times 10^{-3} \approx$	$6.57 \times 10^{-10} \pm 1.20 \times 10^{-9} -$	$8.79 \times 10^{-4} \pm 3.04 \times 10^{-3}$
-/+/ \approx	3/4/6	9/0/4	

3.5 子种群数对算法的影响

为了分析子种群数对 SparkDECC 性能的影响, 分别选取了不同数目的子种群进行对比实验, 如 1、2、5、10、20 等 5 种不同的子种群。根据 2.2 节中的子种群数的计算公式, 计算子种群的维度, 如问题维度为 1 000, 则上述 5 种不同子种群的维度分别为 1 000、500、200、1 00、50。算法的其他参数设置保持一致, 分别在 13 个测试函数上独立运行了 20 次, 表 3 和表 4 分别记录了 5 种不同子种群数下的平均最优值和平均运行时间。

表 3 和表 4 的结果分析发现, f_1 、 f_2 、 f_6 、 f_8 、 f_{10} 、 f_{12} 、 f_{13} 共 7 个函数的收敛精度随子种群数的增加而逐渐增强。 f_3 、 f_4 、 f_9 这 3 个函数解的精度在种群不分解的情况下达到最优, 种群维度的分解并没有提高解的精度。 f_7 的解在子种群数为 5 时达到最优, 再增加子种群数并不会提高解的精度。 f_5 、 f_{11} 的解在子种群数为 10 时达到最优。因此, 对于可分解函

数, SparkDECC 的种群多样性随子种群数的增加逐渐增强, 提高了解的收敛性。然后, 随子问题数目增多, 子问题之间的交互时间随之增加, 从而增加了函数的收敛时间。表 4 的结果显示, 函数的运行时间与子问题数成正比, 与 2.2 节中的时间复杂度相吻合。当子问题数增加到 20 时, 13 个函数总的平均时间是 1 个子问题的 11.5 倍。因此, SparkDECC 应从收敛时间和收敛精度两方面综合考虑选取合适的子种群数。

3.6 子种群进化代数对算法的影响

SparkDECC 算法在子种群进化若干代后, 需要合并成新的全局最优解。因此, 为了探索子种群局部寻优的代数 Gen 对 SparkDECC 算法的影响, 本文选取了 10、20、50、100、250 等 5 种情况分别进行实验。5 种情况的其他参数一致并设置相同的函数评价次数, 分别独立运行 25 次, 平均运行时间及结果分别如表 5 和表 6 所示。

表 3 SparkDECC 在不同子种群数的实验结果

Table 3 Experimental results of SparkDECC in different number of sub-populations

F/M	1 (mean±std)	2 (mean±std)	5 (mean±std)	10 (mean±std)	20 (mean±std)
f_1	$3.67 \times 10^{+4} \pm 4.80 \times 10^{+3}$	$2.34 \times 10^{+3} \pm 8.35 \times 10^{+2}$	$2.78 \times 10^{-3} \pm 1.94 \times 10^{-3}$	$5.69 \times 10^{-13} \pm 1.36 \times 10^{-13}$	$1.21 \times 10^{-28} \pm 3.14 \times 10^{-29}$
f_2	$3.18 \times 10^{+2} \pm 2.05 \times 10^{+1}$	$5.63 \times 10^{+1} \pm 7.90 \times 10^{+0}$	$3.77 \times 10^{-2} \pm 1.78 \times 10^{-2}$	$6.89 \times 10^{-7} \pm 8.90 \times 10^{-8}$	$5.79 \times 10^{-14} \pm 8.83 \times 10^{-15}$
f_3	$2.27 \times 10^{+7} \pm 2.28 \times 10^{+6}$	$3.05 \times 10^{+7} \pm 3.89 \times 10^{+6}$	$4.21 \times 10^{+7} \pm 6.45 \times 10^{+6}$	$5.30 \times 10^{+7} \pm 1.05 \times 10^{+7}$	$5.03 \times 10^{+7} \pm 1.09 \times 10^{+7}$
f_4	$9.43 \times 10^{+1} \pm 1.33 \times 10^{+0}$	$9.66 \times 10^{+1} \pm 4.75 \times 10^{-1}$	$9.74 \times 10^{+1} \pm 2.58 \times 10^{-1}$	$9.75 \times 10^{+1} \pm 3.57 \times 10^{-1}$	$9.77 \times 10^{+1} \pm 2.94 \times 10^{-1}$
f_5	$1.62 \times 10^{+7} \pm 2.77 \times 10^{+6}$	$6.65 \times 10^{+5} \pm 2.33 \times 10^{+5}$	$3.20 \times 10^{+3} \pm 4.66 \times 10^{+2}$	$1.64 \times 10^{+3} \pm 1.45 \times 10^{+2}$	$1.66 \times 10^{+3} \pm 1.28 \times 10^{+2}$
f_6	$4.18 \times 10^{+4} \pm 4.83 \times 10^{+3}$	$6.08 \times 10^{+3} \pm 1.34 \times 10^{+3}$	$8.12 \times 10^{+1} \pm 8.13 \times 10^{+1}$	$2.00 \times 10^{-1} \pm 4.08 \times 10^{-1}$	$0.00 \times 10^{+0} \pm 0.00 \times 10^{+0}$
f_7	$5.24 \times 10^{+2} \pm 3.18 \times 10^{+2}$	$2.22 \times 10^{+1} \pm 5.63 \times 10^{+0}$	$2.83 \times 10^{+0} \pm 1.70 \times 10^{-1}$	$3.63 \times 10^{+0} \pm 1.35 \times 10^{-1}$	$4.65 \times 10^{+0} \pm 1.53 \times 10^{-1}$
f_8	$-2.87 \times 10^{+4} \pm 1.54 \times 10^{+3}$	$-3.43 \times 10^{+4} \pm 1.17 \times 10^{+3}$	$-4.64 \times 10^{+4} \pm 1.19 \times 10^{+3}$	$-6.15 \times 10^{+4} \pm 1.12 \times 10^{+3}$	$-8.27 \times 10^{+4} \pm 1.06 \times 10^{+3}$
f_9	$3.83 \times 10^{+3} \pm 4.48 \times 10^{+2}$	$9.20 \times 10^{+3} \pm 3.00 \times 10^{+2}$	$1.10 \times 10^{+4} \pm 7.07 \times 10^{+1}$	$1.10 \times 10^{+4} \pm 6.00 \times 10^{+1}$	$1.04 \times 10^{+4} \pm 5.14 \times 10^{+1}$
f_{10}	$9.70 \times 10^{+0} \pm 4.05 \times 10^{-1}$	$4.99 \times 10^{+0} \pm 3.84 \times 10^{-1}$	$6.37 \times 10^{-1} \pm 4.80 \times 10^{-1}$	$4.60 \times 10^{-8} \pm 5.22 \times 10^{-9}$	$1.98 \times 10^{-13} \pm 9.93 \times 10^{-15}$
f_{11}	$3.34 \times 10^{+2} \pm 4.28 \times 10^{+1}$	$2.13 \times 10^{+1} \pm 6.73 \times 10^{+0}$	$1.29 \times 10^{-2} \pm 4.73 \times 10^{-2}$	$3.95 \times 10^{-4} \pm 1.97 \times 10^{-3}$	$1.97 \times 10^{-03} \pm 4.66 \times 10^{-3}$
f_{12}	$2.12 \times 10^{+6} \pm 7.51 \times 10^{+5}$	$1.11 \times 10^{+5} \pm 5.63 \times 10^{+4}$	$7.51 \times 10^{+1} \pm 5.03 \times 10^{+1}$	$4.98 \times 10^{-4} \pm 2.49 \times 10^{-3}$	$5.50 \times 10^{-29} \pm 2.49 \times 10^{-29}$
f_{13}	$1.90 \times 10^{+7} \pm 5.26 \times 10^{+6}$	$8.57 \times 10^{+5} \pm 4.55 \times 10^{+5}$	$2.73 \times 10^{+2} \pm 1.06 \times 10^{+2}$	$8.79 \times 10^{-4} \pm 3.04 \times 10^{-3}$	$9.77 \times 10^{-28} \pm 3.24 \times 10^{-28}$

表 4 SparkDECC 在不同子种群数的平均运行时间
Table 4 The average running time of SparkDECC in different number of sub-populations

F/M	1	2	5	10	20
f_1	$1.70 \times 10^{+4}$	$1.75 \times 10^{+4}$	$2.14 \times 10^{+4}$	$2.67 \times 10^{+4}$	$3.81 \times 10^{+4}$
f_2	$1.70 \times 10^{+4}$	$1.88 \times 10^{+4}$	$2.46 \times 10^{+4}$	$3.33 \times 10^{+4}$	$5.16 \times 10^{+4}$
f_3	$2.06 \times 10^{+5}$	$3.94 \times 10^{+5}$	$9.39 \times 10^{+5}$	$1.86 \times 10^{+6}$	$3.76 \times 10^{+6}$
f_4	$1.64 \times 10^{+4}$	$1.76 \times 10^{+4}$	$2.09 \times 10^{+4}$	$2.52 \times 10^{+4}$	$3.45 \times 10^{+4}$
f_5	$1.66 \times 10^{+4}$	$1.79 \times 10^{+4}$	$2.23 \times 10^{+4}$	$2.87 \times 10^{+4}$	$4.22 \times 10^{+4}$
f_6	$1.91 \times 10^{+4}$	$2.28 \times 10^{+4}$	$2.71 \times 10^{+4}$	$3.37 \times 10^{+4}$	$4.98 \times 10^{+4}$
f_7	$1.68 \times 10^{+4}$	$1.78 \times 10^{+4}$	$2.20 \times 10^{+4}$	$2.84 \times 10^{+4}$	$4.17 \times 10^{+4}$
f_8	$4.05 \times 10^{+4}$	$6.51 \times 10^{+4}$	$1.34 \times 10^{+5}$	$2.49 \times 10^{+5}$	$4.81 \times 10^{+5}$
f_9	$3.55 \times 10^{+4}$	$5.66 \times 10^{+4}$	$1.13 \times 10^{+5}$	$2.08 \times 10^{+5}$	$3.94 \times 10^{+5}$
f_{10}	$3.60 \times 10^{+4}$	$5.58 \times 10^{+4}$	$1.02 \times 10^{+5}$	$1.78 \times 10^{+5}$	$3.36 \times 10^{+5}$
f_{11}	$3.85 \times 10^{+4}$	$5.91 \times 10^{+4}$	$1.18 \times 10^{+5}$	$2.20 \times 10^{+5}$	$4.25 \times 10^{+5}$
f_{12}	$4.99 \times 10^{+4}$	$7.91 \times 10^{+4}$	$1.44 \times 10^{+5}$	$2.37 \times 10^{+5}$	$4.41 \times 10^{+5}$
f_{13}	$6.12 \times 10^{+4}$	$9.91 \times 10^{+4}$	$1.63 \times 10^{+5}$	$2.46 \times 10^{+5}$	$4.41 \times 10^{+5}$

表 5 进化代数对 SparkDECC 优化时间的影响
Table 5 Optimization time of SparkDECC with generations

F/Gen	10	20	50	100	250
f_1	$3.69 \times 10^{+4}$	$3.50 \times 10^{+4}$	$2.85 \times 10^{+4}$	$2.72 \times 10^{+4}$	$2.65 \times 10^{+4}$
f_2	$4.34 \times 10^{+4}$	$4.07 \times 10^{+4}$	$3.48 \times 10^{+4}$	$3.34 \times 10^{+4}$	$3.25 \times 10^{+4}$
f_3	$1.91 \times 10^{+6}$	$1.89 \times 10^{+6}$	$1.87 \times 10^{+6}$	$1.85 \times 10^{+6}$	$1.86 \times 10^{+6}$
f_4	$3.44 \times 10^{+4}$	$2.99 \times 10^{+4}$	$2.70 \times 10^{+4}$	$2.56 \times 10^{+4}$	$2.45 \times 10^{+4}$
f_5	$3.89 \times 10^{+4}$	$3.37 \times 10^{+4}$	$3.03 \times 10^{+4}$	$2.89 \times 10^{+4}$	$2.79 \times 10^{+4}$
f_6	$5.79 \times 10^{+4}$	$4.89 \times 10^{+4}$	$3.72 \times 10^{+4}$	$3.28 \times 10^{+4}$	$3.25 \times 10^{+4}$
f_7	$3.91 \times 10^{+4}$	$3.41 \times 10^{+4}$	$3.01 \times 10^{+4}$	$2.86 \times 10^{+4}$	$2.75 \times 10^{+4}$
f_8	$2.62 \times 10^{+5}$	$2.57 \times 10^{+5}$	$2.52 \times 10^{+5}$	$2.54 \times 10^{+5}$	$2.48 \times 10^{+5}$
f_9	$2.22 \times 10^{+5}$	$2.15 \times 10^{+5}$	$2.08 \times 10^{+5}$	$2.04 \times 10^{+5}$	$2.02 \times 10^{+5}$
f_{10}	$2.29 \times 10^{+5}$	$2.23 \times 10^{+5}$	$1.84 \times 10^{+5}$	$1.76 \times 10^{+5}$	$1.75 \times 10^{+5}$
f_{11}	$2.42 \times 10^{+5}$	$2.35 \times 10^{+5}$	$2.19 \times 10^{+5}$	$2.17 \times 10^{+5}$	$2.16 \times 10^{+5}$
f_{12}	$4.92 \times 10^{+5}$	$4.76 \times 10^{+5}$	$3.85 \times 10^{+5}$	$2.34 \times 10^{+5}$	$2.29 \times 10^{+5}$
f_{13}	$5.42 \times 10^{+5}$	$5.27 \times 10^{+5}$	$4.06 \times 10^{+5}$	$2.42 \times 10^{+5}$	$2.34 \times 10^{+5}$

表 6 的结果显示, $f_1, f_2, f_7, f_8, f_9, f_{10}$ 等 6 个函数的求解精度随进化代数的增加逐渐提高。 f_3 和 f_4 两个函数增加局部寻优的代数并不能提高解的精度, 函数易陷入局部最优。 f_6, f_{12} 和 f_{13} 等 3 个函数的结果在进化代数为 100 时达到最优。 f_5 和 f_{11} 两个函数在进化代数为 50 时达到最优, 进化代数的增加并不能提高解的质量。由 2.2 节中的时间复杂度可知, 在评价次数相同的情况下, 不同进化代数

Gen 的函数优化时间几乎相同。但从表 5 的结果显示, SparkDECC 算法的优化时间随参数 Gen 的增加而逐渐减少。其主要原因是, 由 2.2 节中的算法可知, SparkDECC 算法在评价次数相同的情况下, 合并轮数 Cycle 的值随进化代数 Gen 变大而逐渐变小, 减少了广播变量执行的次数, 因此, 函数的优化时间会相应减少, 但总的优化时间相差无异。

总之, SparkDECC 算法的收敛精度与子问题的

进化代数数和合并轮数关系紧密, 增加子问题的进化代数提高了子问题的局部寻优能力。子问题的合并轮数改善了问题多样性。但是, 在评价次数相同的情况下, 子问题的合并轮数随子种群进化代数的增

加而减少。因此, 为了在全局搜索和局部寻优之间达到平衡, 并能在有效时间内提高算法的收敛精度, 我们可以选择合适的进化代数, 合理分配计算资源。

表 6 进化代数对 SparkDECC 优化性能的影响

Table 6 Performance affection of SparkDECC with generations

F/Gen	10 (mean±std)	20 (mean±std)	50 (mean±std)	100 (mean±std)	250 (mean±std)
f_1	$1.51 \times 10^{-6} \pm 1.60 \times 10^{-4}$	$1.14 \times 10^{-6} \pm 1.80 \times 10^{-4}$	$7.21 \times 10^{-5} \pm 2.67 \times 10^{-5}$	$5.79 \times 10^{-13} \pm 1.52 \times 10^{-13}$	$1.73 \times 10^{-16} \pm 4.28 \times 10^{-17}$
f_2	$3.15 \times 10^{+3} \pm 1.99 \times 10^{+1}$	$2.68 \times 10^{+3} \pm 2.26 \times 10^{+1}$	$2.21 \times 10^{-2} \pm 3.11 \times 10^{-3}$	$6.62 \times 10^{-7} \pm 8.59 \times 10^{-8}$	$4.63 \times 10^{-9} \pm 7.16 \times 10^{-10}$
f_3	$3.62 \times 10^{+7} \pm 3.33 \times 10^{+6}$	$4.15 \times 10^{+7} \pm 7.19 \times 10^{+6}$	$4.88 \times 10^{+7} \pm 7.61 \times 10^{+6}$	$5.06 \times 10^{+7} \pm 1.13 \times 10^{+7}$	$5.60 \times 10^{+7} \pm 1.68 \times 10^{+7}$
f_4	$9.72 \times 10^{+1} \pm 2.55 \times 10^{-1}$	$9.72 \times 10^{+1} \pm 3.41 \times 10^{-1}$	$9.75 \times 10^{+1} \pm 3.13 \times 10^{-1}$	$9.75 \times 10^{+1} \pm 3.14 \times 10^{-1}$	$9.77 \times 10^{+1} \pm 3.44 \times 10^{-1}$
f_5	$5.01 \times 10^{+9} \pm 9.54 \times 10^{+7}$	$3.39 \times 10^{+9} \pm 9.52 \times 10^{+7}$	$1.08 \times 10^{+3} \pm 6.90 \times 10^{+1}$	$1.70 \times 10^{+3} \pm 2.96 \times 10^{+2}$	$2.47 \times 10^{+3} \pm 2.15 \times 10^{+2}$
f_6	$1.51 \times 10^{-6} \pm 1.76 \times 10^{-4}$	$1.13 \times 10^{-6} \pm 2.24 \times 10^{-4}$	$2.39 \times 10^{+1} \pm 3.29 \times 10^{+0}$	$2.40 \times 10^{-1} \pm 8.31 \times 10^{-1}$	$1.52 \times 10^{+0} \pm 2.49 \times 10^{+0}$
f_7	$1.21 \times 10^{+5} \pm 2.57 \times 10^{+3}$	$8.28 \times 10^{+4} \pm 2.78 \times 10^{+3}$	$8.79 \times 10^{+0} \pm 3.26 \times 10^{-1}$	$3.64 \times 10^{+0} \pm 1.48 \times 10^{-1}$	$1.67 \times 10^{+0} \pm 8.74 \times 10^{-2}$
f_8	$-4.64 \times 10^{+4} \pm 1.28 \times 10^{+3}$	$-5.09 \times 10^{+4} \pm 9.98 \times 10^{+2}$	$-5.68 \times 10^{+4} \pm 9.84 \times 10^{+2}$	$-6.08 \times 10^{+4} \pm 1.11 \times 10^{+3}$	$-6.62 \times 10^{+4} \pm 6.21 \times 10^{+2}$
f_9	$1.38 \times 10^{+4} \pm 7.15 \times 10^{+1}$	$1.32 \times 10^{+4} \pm 6.11 \times 10^{+1}$	$1.21 \times 10^{+4} \pm 5.44 \times 10^{+1}$	$1.10 \times 10^{+4} \pm 7.38 \times 10^{+1}$	$9.94 \times 10^{+3} \pm 6.59 \times 10^{+1}$
f_{10}	$2.01 \times 10^{+1} \pm 1.92 \times 10^{-2}$	$1.95 \times 10^{+1} \pm 4.83 \times 10^{-2}$	$5.70 \times 10^{-4} \pm 1.03 \times 10^{-4}$	$4.63 \times 10^{-8} \pm 7.33 \times 10^{-9}$	$2.10 \times 10^{-9} \pm 4.34 \times 10^{-10}$
f_{11}	$1.36 \times 10^{+4} \pm 1.44 \times 10^{+2}$	$1.01 \times 10^{+4} \pm 1.88 \times 10^{+2}$	$4.83 \times 10^{-6} \pm 1.55 \times 10^{-6}$	$3.94 \times 10^{-4} \pm 1.97 \times 10^{-3}$	$1.08 \times 10^{-3} \pm 3.11 \times 10^{-3}$
f_{12}	$1.05 \times 10^{+10} \pm 2.76 \times 10^{+8}$	$6.77 \times 10^{+9} \pm 2.08 \times 10^{+8}$	$1.35 \times 10^{+8} \pm 2.77 \times 10^{+7}$	$9.57 \times 10^{-11} \pm 7.66 \times 10^{-11}$	$1.24 \times 10^{-3} \pm 3.48 \times 10^{-3}$
f_{13}	$2.09 \times 10^{+10} \pm 3.83 \times 10^{+8}$	$1.37 \times 10^{+10} \pm 5.74 \times 10^{+8}$	$7.38 \times 10^{+6} \pm 1.79 \times 10^{+6}$	$8.79 \times 10^{-4} \pm 3.04 \times 10^{-3}$	$2.08 \times 10^{-1} \pm 7.75 \times 10^{-1}$

3.7 SparkDECC 算法的可扩展性分析

为了验证 SparkDECC 算法的可扩展性, 本文将文献[25]中的 13 个测试函数扩展到 5 000 维进行实验。子问题的维度 $S=100$, $F=0.5$, $CR=0.9$, $FES=$

5 000 D , 问题规模 $NP=100$, 算法独立运行 10 次。OXDE、CoDE 和 jDE 3 种算法在 5 000 维的实验参数与 SparkDECC 的参数一致, 实验结果如表 7。

表 7 SparkDECC、OXDE、CoDE、jDE 算法在 5 000 维的平均值、标准差和 Wilcoxon 秩和检验结果

Table 7 Comparison of SparkDECC, OXDE, CoDE, jDE algorithms for solving the results in 5 000 dimension

F	OXDE (mean±std)	CoDE (mean±std)	jDE (mean±std)	SparkDECC (mean±std)
f_1	$5.69 \times 10^{+4} \pm 4.69 \times 10^{+3} -$	$4.34 \times 10^{+3} \pm 1.04 \times 10^{+3} -$	$4.49 \times 10^{+4} \pm 1.77 \times 10^{+4} -$	$3.56 \times 10^{-12} \pm 3.90 \times 10^{-13}$
f_2	Inf±NaN -	Inf±NaN -	Inf±NaN -	$3.67 \times 10^{-6} \pm 2.04 \times 10^{-7}$
f_3	$1.05 \times 10^{+7} \pm 1.33 \times 10^{+6} +$	$6.88 \times 10^{+5} \pm 9.94 \times 10^{+4} +$	$1.43 \times 10^{+6} \pm 3.02 \times 10^{+5} +$	$2.51 \times 10^{+9} \pm 6.30 \times 10^{+8}$
f_4	$2.83 \times 10^{+1} \pm 1.82 \times 10^{+0} \approx$	$3.25 \times 10^{+1} \pm 1.99 \times 10^{+0} \approx$	$5.98 \times 10^{+1} \pm 9.43 \times 10^{+0} \approx$	$9.93 \times 10^{+1} \pm 9.33 \times 10^{-2}$
f_5	$5.80 \times 10^{+6} \pm 9.98 \times 10^{+5} -$	$1.86 \times 10^{+5} \pm 6.81 \times 10^{+4} -$	$2.52 \times 10^{+8} \pm 1.06 \times 10^{+8} -$	$9.87 \times 10^{+3} \pm 3.29 \times 10^{+2}$
f_6	$1.92 \times 10^{+5} \pm 1.52 \times 10^{+4} -$	$2.64 \times 10^{+4} \pm 2.86 \times 10^{+3} -$	$4.67 \times 10^{+5} \pm 1.40 \times 10^{+5} -$	$1.00 \times 10^{+0} \pm 6.67 \times 10^{-1}$
f_7	$7.10 \times 10^{+2} \pm 1.76 \times 10^{+2} -$	$7.11 \times 10^{+1} \pm 1.16 \times 10^{+1} \approx$	$2.65 \times 10^{+4} \pm 1.12 \times 10^{+4} -$	$2.16 \times 10^{+1} \pm 3.59 \times 10^{-1}$
f_8	$-2.03 \times 10^{+6} \pm 4.91 \times 10^{+3} -$	$-1.26 \times 10^{+6} \pm 8.25 \times 10^{+4} -$	$-2.09 \times 10^{+6} \pm 4.17 \times 10^{+2} -$	$-2.73 \times 10^{+5} \pm 1.48 \times 10^{+3}$
f_9	$6.68 \times 10^{+3} \pm 3.36 \times 10^{+2} +$	$2.79 \times 10^{+3} \pm 1.97 \times 10^{+2} +$	$3.34 \times 10^{+3} \pm 1.09 \times 10^{+3} +$	$5.67 \times 10^{+4} \pm 1.31 \times 10^{+2}$
f_{10}	$9.13 \times 10^{+0} \pm 2.84 \times 10^{-1} -$	$7.28 \times 10^{+0} \pm 2.39 \times 10^{-1} -$	$1.29 \times 10^{+1} \pm 2.06 \times 10^{-1} -$	$6.82 \times 10^{-8} \pm 3.46 \times 10^{-9}$
f_{11}	$4.62 \times 10^{+2} \pm 7.75 \times 10^{+1} -$	$3.78 \times 10^{+1} \pm 6.80 \times 10^{+0} -$	$5.45 \times 10^{+2} \pm 1.07 \times 10^{+2} -$	$5.81 \times 10^{-14} \pm 5.96 \times 10^{-15}$
f_{12}	$4.55 \times 10^{+1} \pm 1.63 \times 10^{+3} -$	$1.90 \times 10^{+0} \pm 3.67 \times 10^{-1} -$	$1.16 \times 10^{+9} \pm 4.62 \times 10^{+8} -$	$6.22 \times 10^{-5} \pm 1.97 \times 10^{-4}$
f_{13}	$4.56 \times 10^{+5} \pm 8.23 \times 10^{+5} -$	$4.24 \times 10^{+3} \pm 7.11 \times 10^{+2} -$	$2.72 \times 10^{+9} \pm 9.69 \times 10^{+8} -$	$4.40 \times 10^{-3} \pm 1.39 \times 10^{-2}$
-/+/ \approx	10/2/1	9/2/2	10/2/1	

表7的结果显示,随着维度的增加,算法的求解性能下降,搜索时间成倍增长。SparkDECC算法在 f_1 、 f_2 、 f_3 、 f_6 、 f_7 、 f_8 、 f_{10} 、 f_{11} 、 f_{12} 、 f_{13} 等10个函数的最优值都优于其他3种算法,但在 f_3 和 f_9 两个函数的最优值都劣于其他3个算法,4种算法在函数 f_{10} 上的结果相似。OXDE、CoDE和jDE 3种算法在13个测试函数的维度扩展到5000时的运行时间分别是25.15天、16.68天和16.85天。SparkDECC算法的运行时间为4.71天,大大提升了算法的收敛时间。实验结果显示,SparkDECC算法在5000维的整体性能优于其他3种算法,具有很好的可扩展性。

4 结束语

本文利用新型的迭代云计算模型,提出新的基于Spark的合作协同云差分进化算法(SparkDECC)。SparkDECC算法按随机分组策略将高维问题分解成多个同维的低维子问题,将每个子问题与RDD模型中的分区一一对应,每个子问题并行执行DE算法,子问题独立进化若干代后,更新最优个体,提高种群的多样性。利用Scala语言在Spark云模型上实现了SparkDECC,通过13个标准测试函数的对比实验,结果表明SparkDECC求解精度高,速度快,可扩展性好。此外,选择6个测试函数进行加速比实验,实验结果表明加速比与分区数量几乎是线性的,加速效果良好。后续工作将在SparkDECC的基础上探索新的分组策略,并不断改进其协同机制,提高算法的收敛效率和求解精度。

参考文献:

- [1] STORN R, PRICE K. Differential evolution—a simple and efficient heuristic for global optimization over continuous spaces[J]. *Journal of global optimization*, 1997, 11(4): 341–359.
- [2] BREST J, GREINER S, BOSKOVIC B, et al. Self-adapting control parameters in differential evolution: a comparative study on numerical benchmark problems[J]. *IEEE transactions on evolutionary computation*, 2006, 10(6): 646–657.
- [3] WANG Yong, ZHANG Qingfu. Differential evolution with composite trial vector generation strategies and control parameters[J]. *IEEE transactions on evolutionary computation*, 2011, 2(15): 55–66.
- [4] FRANS V D B, ENGELBRECHT A P. A cooperative approach to particle swarm optimization[J]. *IEEE transactions on evolutionary computation*, 2004, 8(3): 225–239.
- [5] POTTER M A, De JONG K A. A cooperative coevolutionary approach to function optimization[J]. *Lecture notes in computer science*, 1994, 866: 249–257.
- [6] YANG Z, TANG K, YAO X. Large scale evolutionary optimization using cooperative coevolution[J]. *Information sciences*, 2008, 178(15): 2985–2999.
- [7] MEI Y, OMIDVAR M N, LI X, et al. A competitive divide-and-conquer algorithm for unconstrained large-scale black-box optimization[J]. *ACM transactions on mathematical software*, 2016, 42(2): 13.
- [8] GUAN X, ZHANG X, WEI J, et al. A strategic conflict avoidance approach based on cooperative coevolutionary with the dynamic grouping strategy[J]. *International journal of systems science*, 2016, 47(9): 1995–2008.
- [9] HU X M, HE F L, CHEN W N, et al. Cooperation coevolution with fast interdependency identification for large scale optimization[J]. *Information sciences*, 2017, 381: 142–160.
- [10] LI X, YAO X. Cooperatively coevolving particle swarms for large scale optimization[J]. *IEEE transactions on evolutionary computation*, 2012, 16(2): 210–224.
- [11] OMIDVAR M N, YANG M, MEI Y, et al. DG2: a faster and more accurate differential grouping for large-scale black-box optimization[J]. *IEEE transactions on evolutionary computation*, 2017, 21(6): 929–942.
- [12] MENG X, BRADLEY J, YUVAZ B, et al. Mllib: machine learning in apache spark[J]. *Journal of machine research*, 2015, 17(34): 1235–1241.
- [13] 王诏远, 王宏杰, 邢焕来, 等. 基于Spark的蚁群优化算法[J]. *计算机应用*, 2015, 35(10): 2777–2780.
WANG Zhangyuan, WANG Hongjie, XING Huanlai, et al. An implement of ant colony optimization based on spark[J]. *Journal of computer applications*, 2015, 35(10): 2777–2780.
- [14] 朱继召, 贾岩涛, 徐君, 等. SparkCRF: 一种基于Spark的并行CRFs算法实现[J]. *计算机研究与发展*, 2016, 53(8): 1819–1828.
ZHU Jizhao, JIA Yantao, XU Jun, et al. SparkCRF: a parallel implementation of crfs algorithm with spark[J]. *Journal of computer research and development*, 2016, 53(8): 1819–1828.
- [15] DENG C, TAN X, DONG X, et al. A parallel version of differential evolution based on resilient distributed datasets model[C]//*Bioinspired Computing-Theories and Applications*. Springer, Berlin, Heidelberg, 2015: 84–93.
- [16] TEIJEIRO D, PARDO X C, GONZÁLEZ P, et al. Implementing Parallel Differential Evolution on Spark[C]//*European Conference on the Applications of Evolutionary Computation*. Springer International Publishing, 2016: 75–90.
- [17] 王虹旭, 吴斌, 刘旻. 基于Spark的并行图数据分析系统[J]. *计算机科学与探索*, 2015, 9(9): 1066–1074.
WANG Hongxu, WU Bin, LIU Yang. Parallel graph data

- analysis based on spark[J]. Journal of frontiers of computer science and technology, 2015, 9(9): 1066–1074.
- [18] 刘志强, 顾荣, 袁春风, 等. 基于 SparkR 的分类算法并行化研究[J]. 计算机科学与探索, 2015, 9(11): 1281–1294.
LIU Zhiqiang, GU Rong, YUAN Chunfeng, et al. Parallelization of classification algorithms based on sparkR[J]. Journal of frontiers of computer science and technology, 2015, 9(11): 1281–1294.
- [19] 袁斯昊, 邓长寿, 董小刚, 等. 求解大规模优化问题的云差分进化算法[J]. 计算机应用研究, 2016, 33(10): 2949–2953.
YUAN Sihao, DENG Changshou, DONG Xiaogang, et al. Cloud computing based differential evolution algorithm for large-scale optimization problems[J]. Application research of computers, 2016, 33(10): 2949–2953.
- [20] 董小刚, 邓长寿, 袁斯昊, 等. MapReduce 模型下的分布式差分进化算法[J]. 小型微型计算机系统, 2016, 37(12): 2695–2701.
DONG Xiaogang, DENG Changshou, YUAN Sihao, et al. Distributed differential evolution algorithm based on mapreduce model[J]. Journal of Chinese computer systems, 2016, 37(12): 2695–2701.
- [21] 谭旭杰, 邓长寿, 董小刚, 等. SparkDE: 一种基于 RDD 云计算模型的并行差分进化算法[J]. 计算机科学, 2016, 43(9): 116–119.
TAN Xujie, DENG Changshou, DONG Xiaogang, et al. SparkDE: a parallel version of differential evolution based on resilient distributed datasets model in cloud computing [J]. Computer science, 2016, 43(9): 116–119.
- [22] ZAHARIA M, CHOWDHURY M, DAS T, et al. Resilient distributed datasets: a fault-tolerant abstraction for in-memory cluster computing[C]//Proceedings of the 9th USENIX conference on Networked Systems Design and Implementation. USENIX Association, 2012: 2–2.
- [23] DAS S, SUGANTHAN P N. Differential evolution: a survey of the state-of-the-art[J]. IEEE transactions on evolutionary computation, 2011, 15(1): 4–31.
- [24] 王贤伟, 戴青云, 姜文超, 等. 基于 Mapreduce 的外观设计专利图像检索方法[J]. 小型微型计算机系统, 2012, 33(3): 626–632.
WANG Xianwei, DAI Qingyun, JIANG Wenchao, et al. Retrieval of design patent images based on mapreduce model[J]. Journal of Chinese computer systems, 2012, 33(3): 626–632.
- [25] YAO X, LIU Y, LIN G. Evolutionary programming made faster[J]. IEEE transactions on evolutionary computation, 2000, 3(2): 82–102.
- [26] WANG Y, CAI Z, ZHANG Q. Enhancing the search ability of differential evolution through orthogonal crossover[J]. Information sciences, 2012, 185(1): 153–177.
- [27] 范德斌, 邓长寿, 袁斯昊, 等. 基于 MapReduce 模型的分布式粒子群算法[J]. 山东大学学报: 工学版, 2016, 46(6): 23–30.
FAN Debin, DENG Chanshou, YUAN Sihao, et al. Distributed particle swarm optimization algorithm based on mapreduce[J]. Journal Shandong university: engineering science, 2016, 46(6): 23–30.
- [28] TAGAWA K, ISHIMIZU T. Concurrent differential evolution based on MapReduce[J]. International journal of computers, 2010, 4(4): 161–168.

作者简介:



谭旭杰, 男, 1978 年生, 讲师, 主要研究方向为计算智能、云计算。



邓长寿, 男, 1972 年生, 教授, 博士, 主要研究方向为计算智能、云计算、数据挖掘。



吴志健, 男, 1963 年生, 教授, 博士生导师, 主要研究方向为智能计算、并行计算和智能信息处理。主持或参与国家自然科学基金、“863”计划等各类科研项目 20 余项, 发表学术论文 120 余篇。